

Fig. 1

102

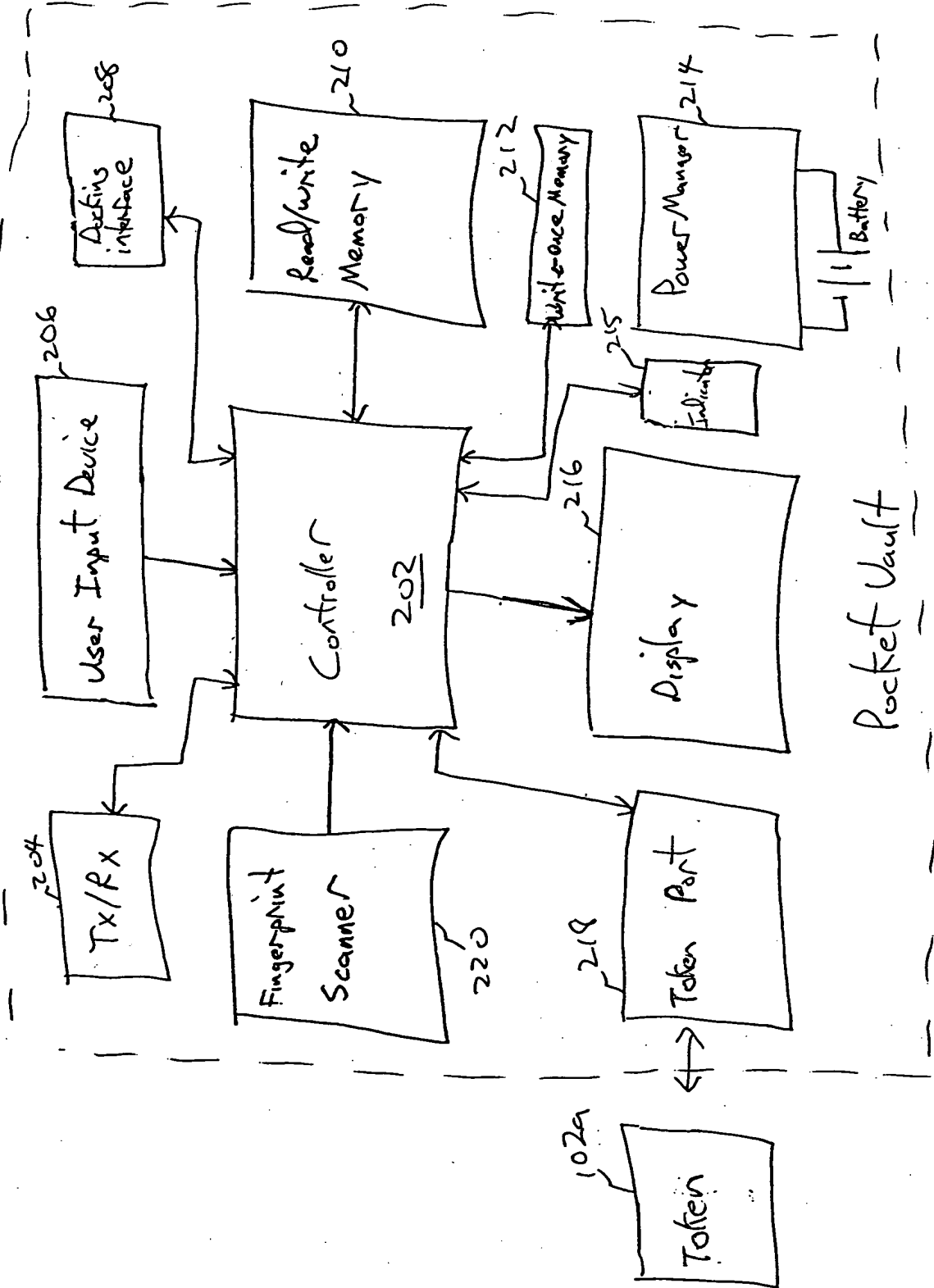


Fig. 2

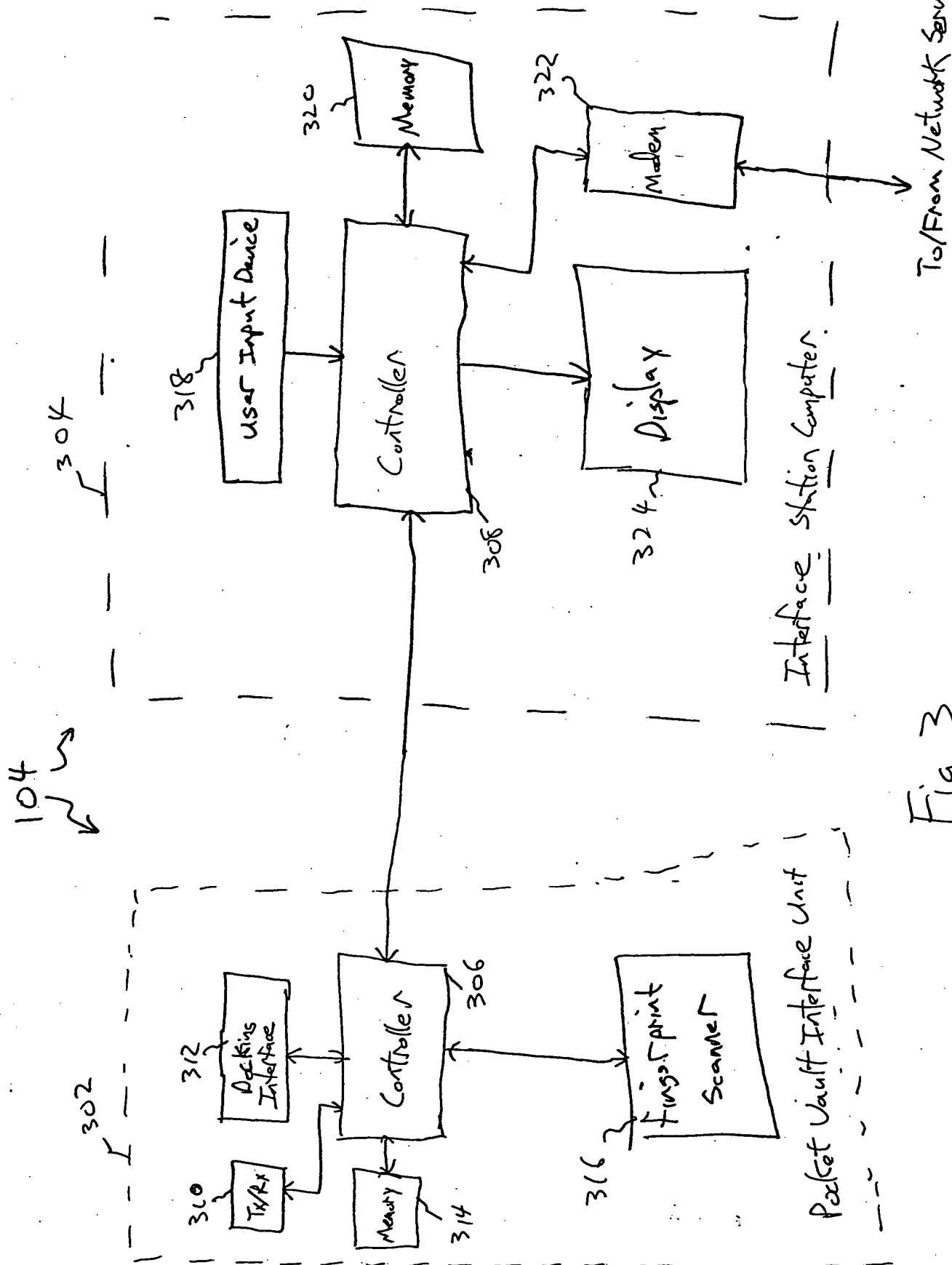


Fig. 3

From/To Network Nodes

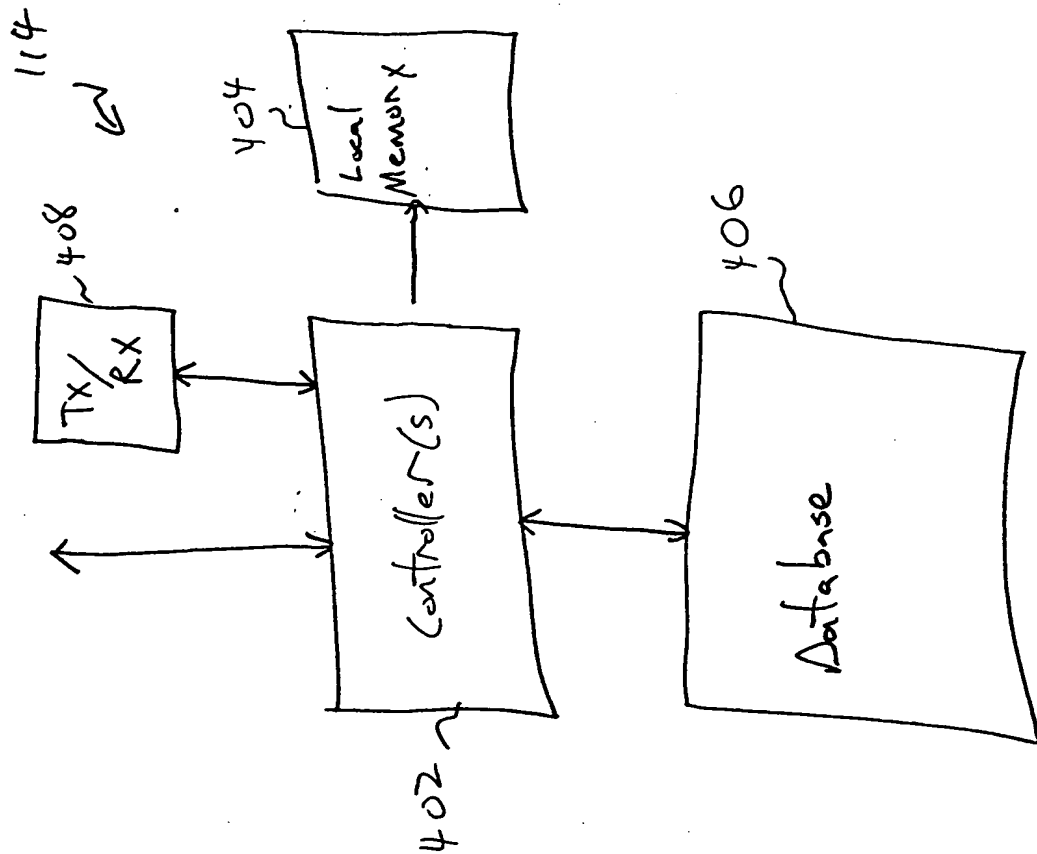


Fig. 4

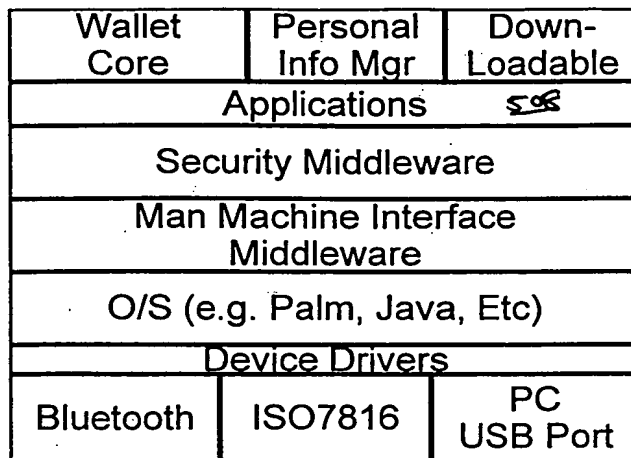


Fig. 5

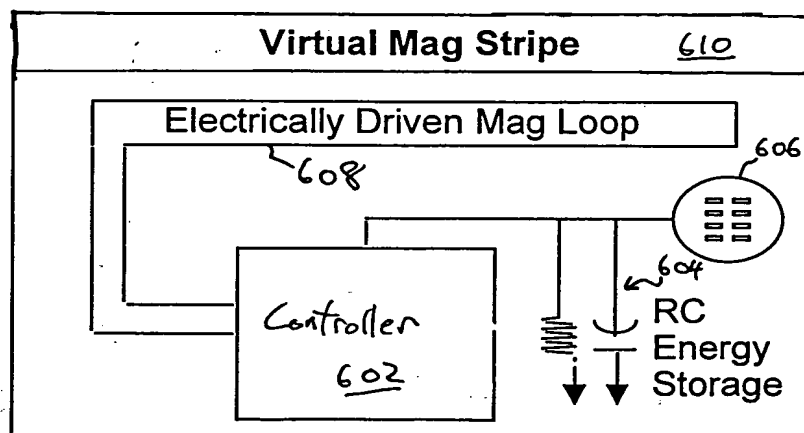


Fig. 6

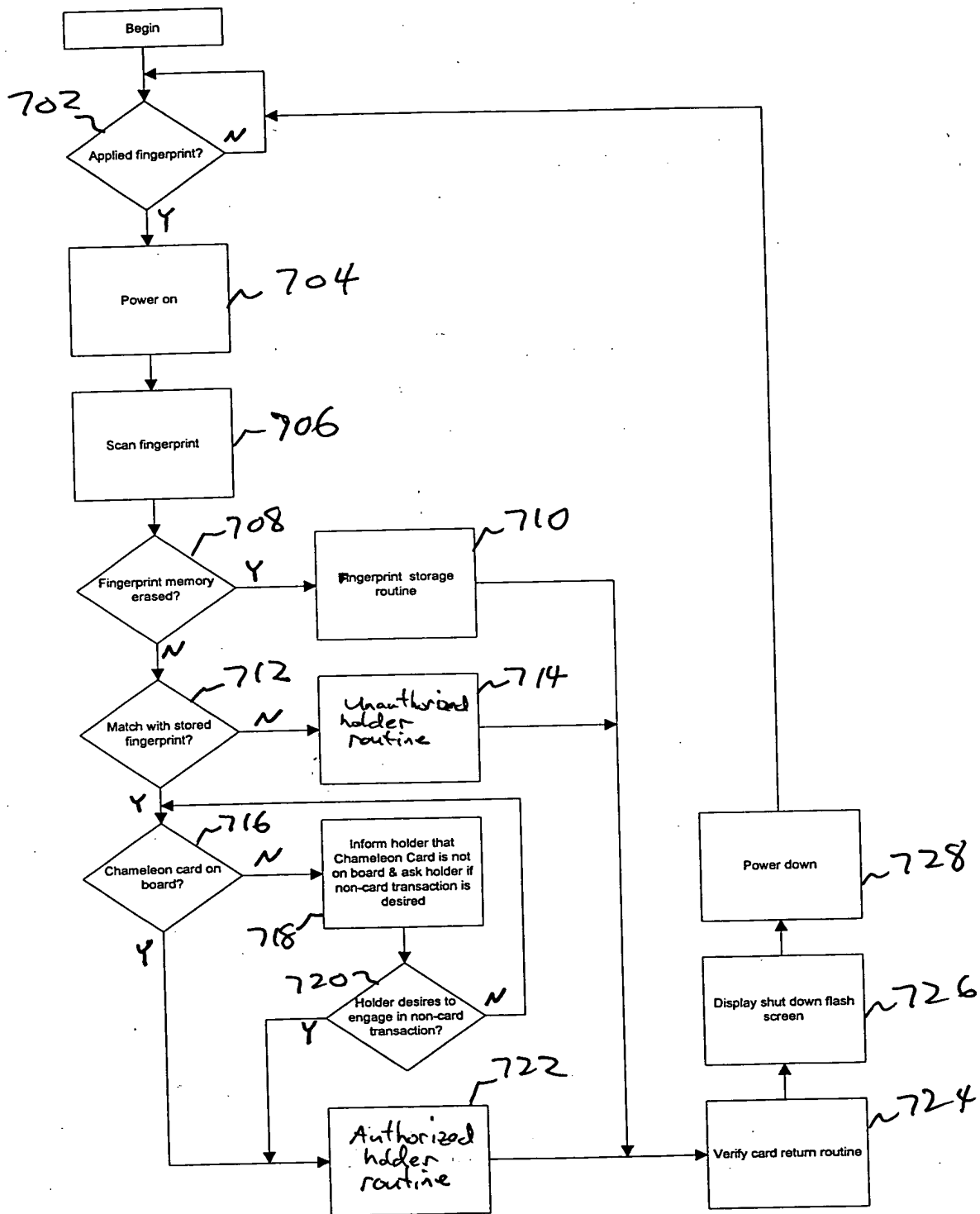


Fig. 7

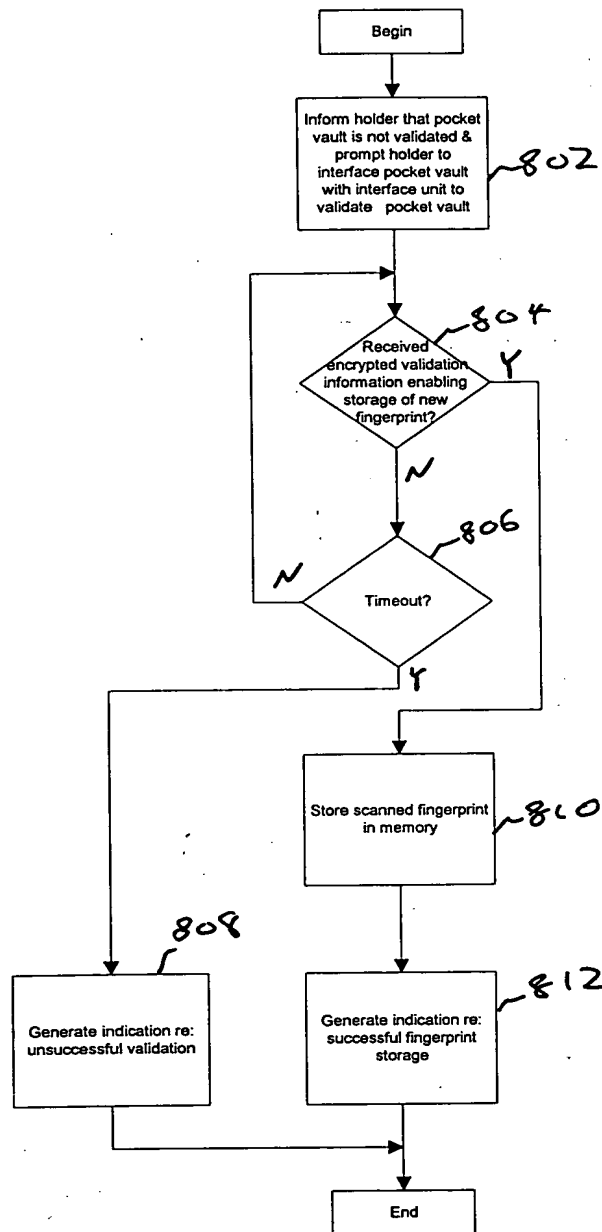


Fig. 8

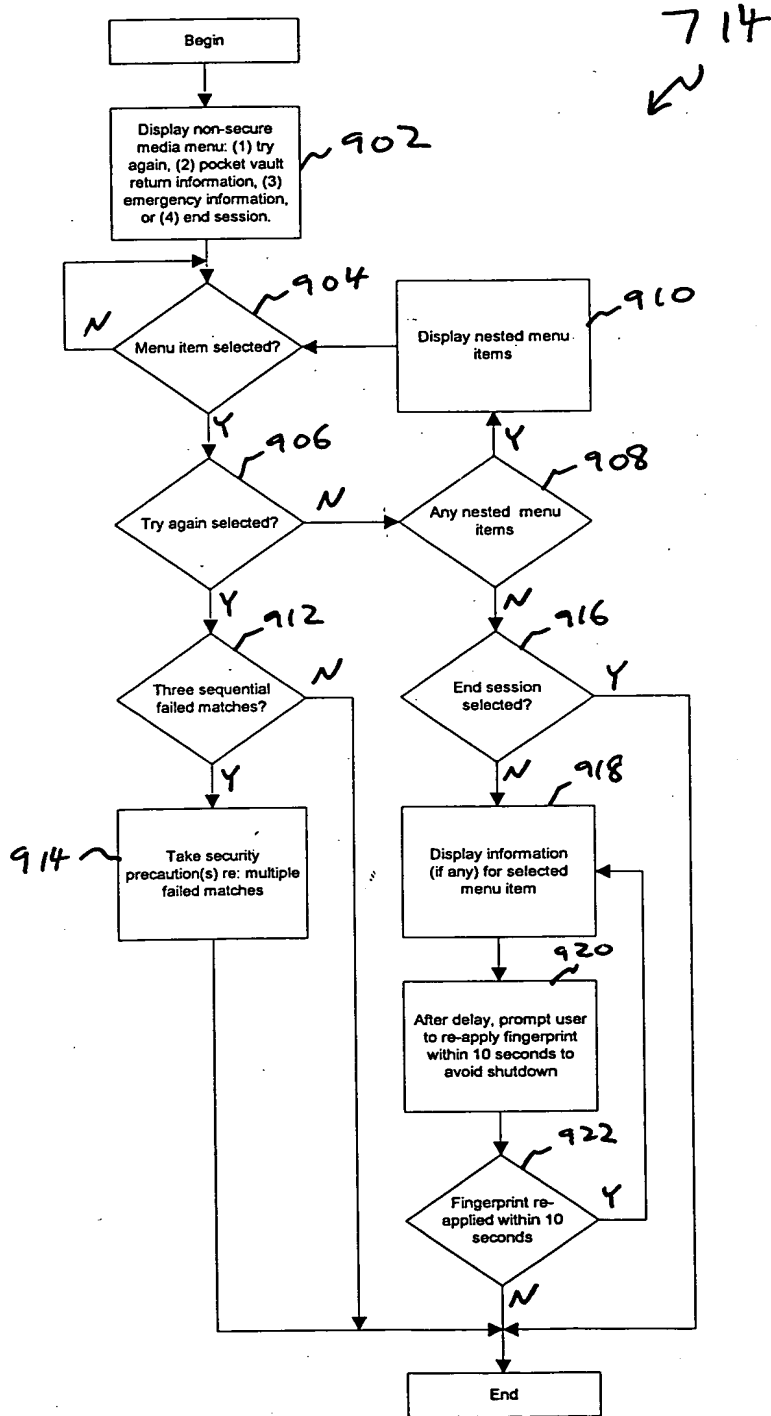


Fig. 9

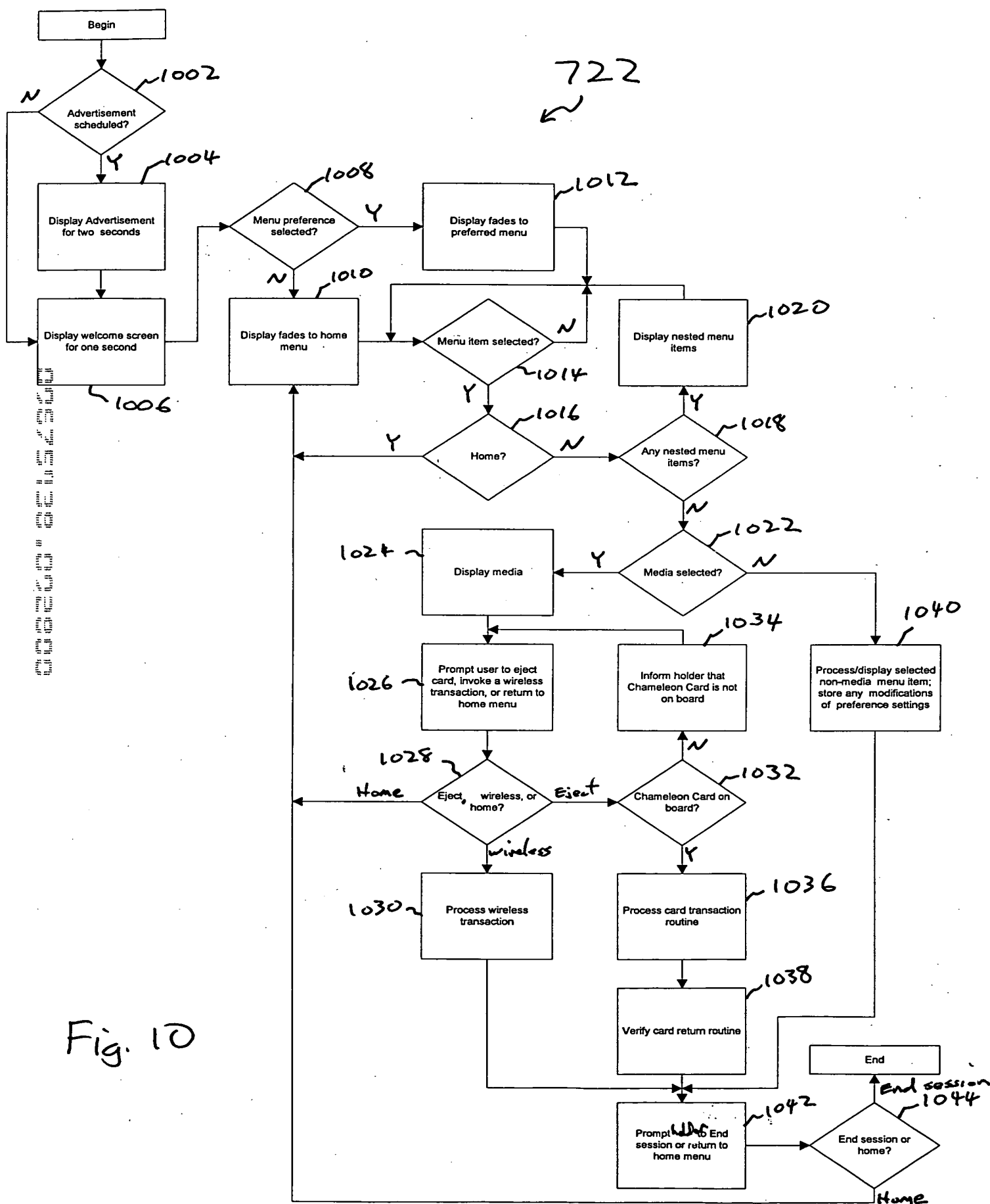
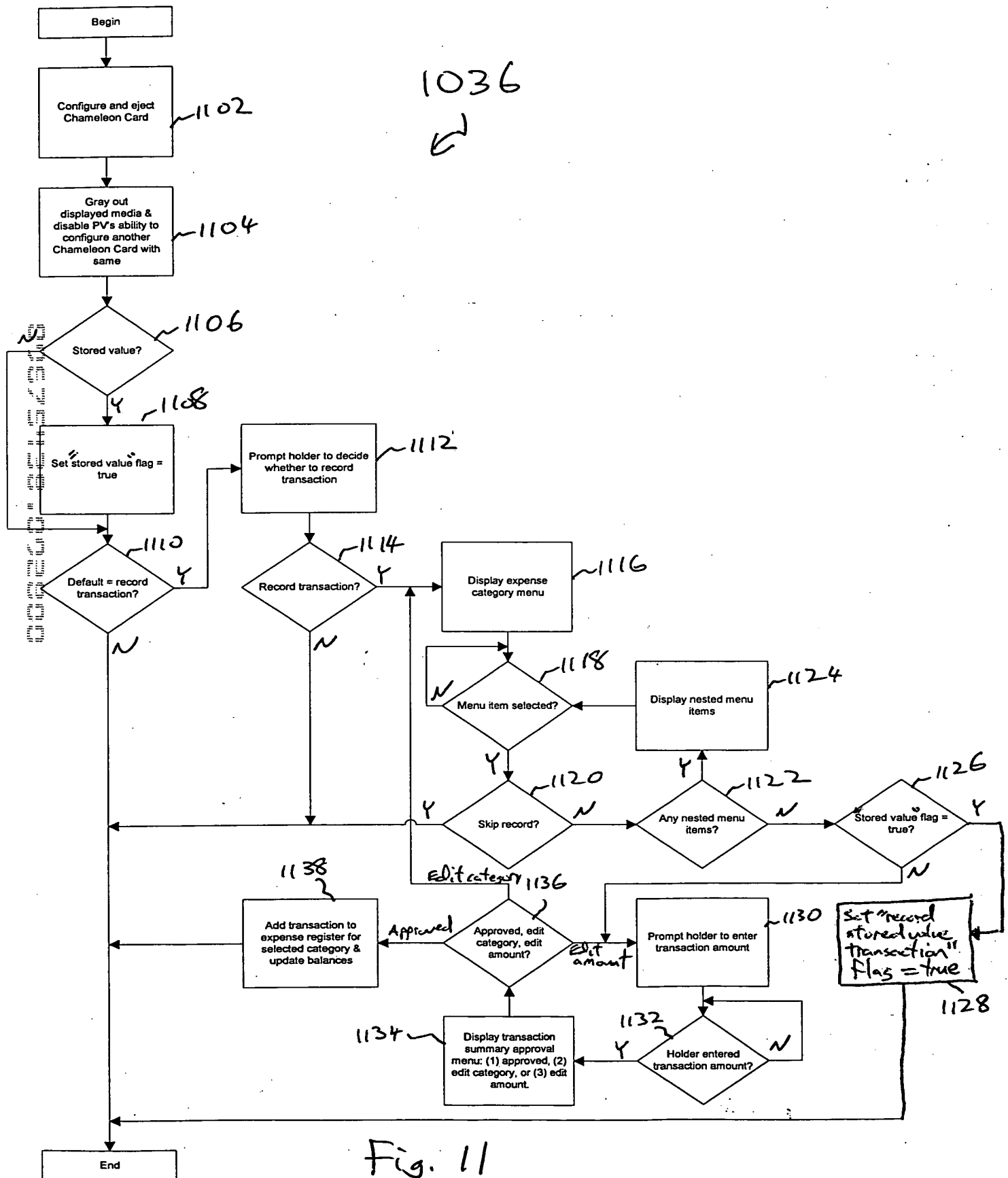


Fig. 10



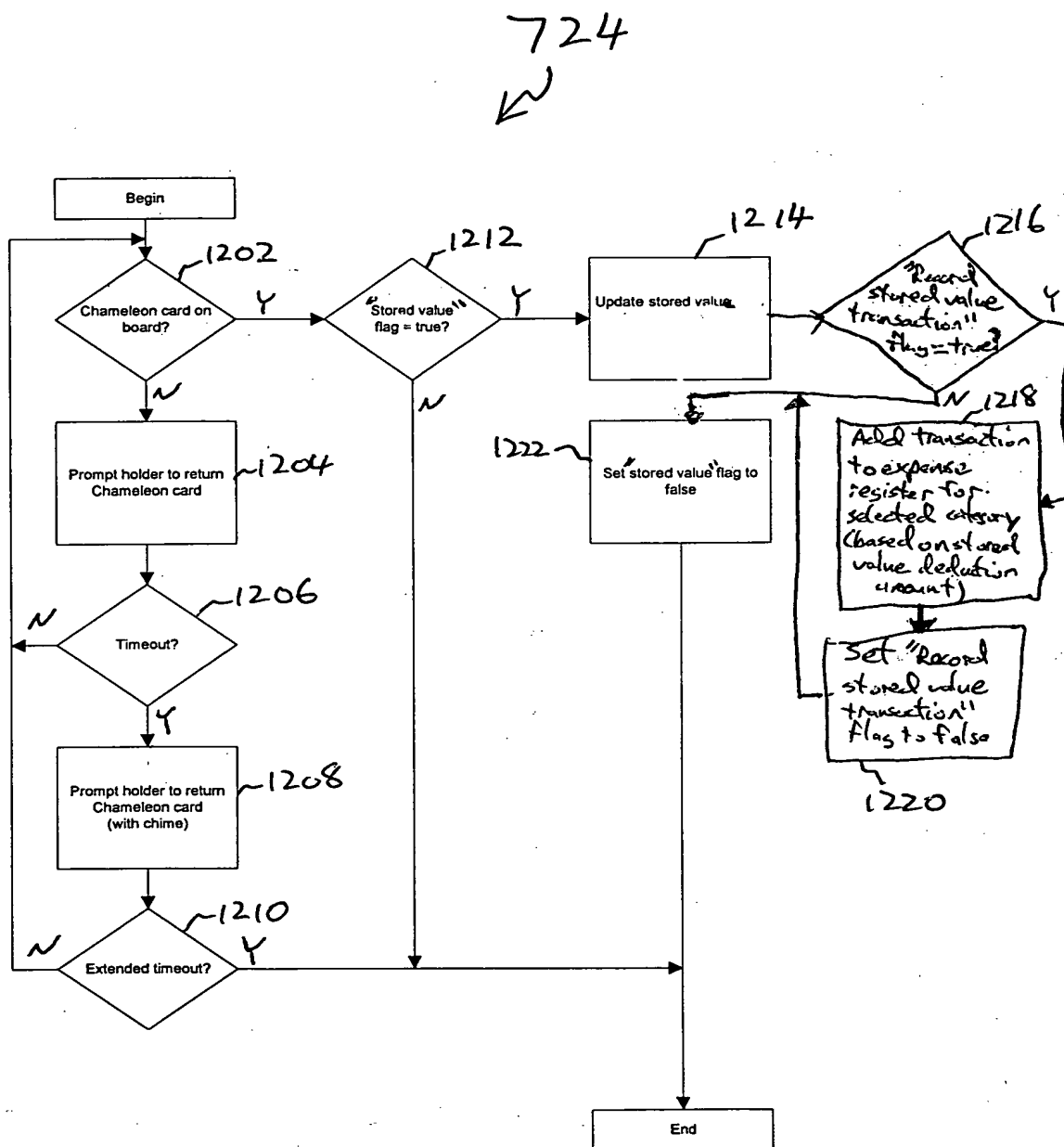


Fig. 12

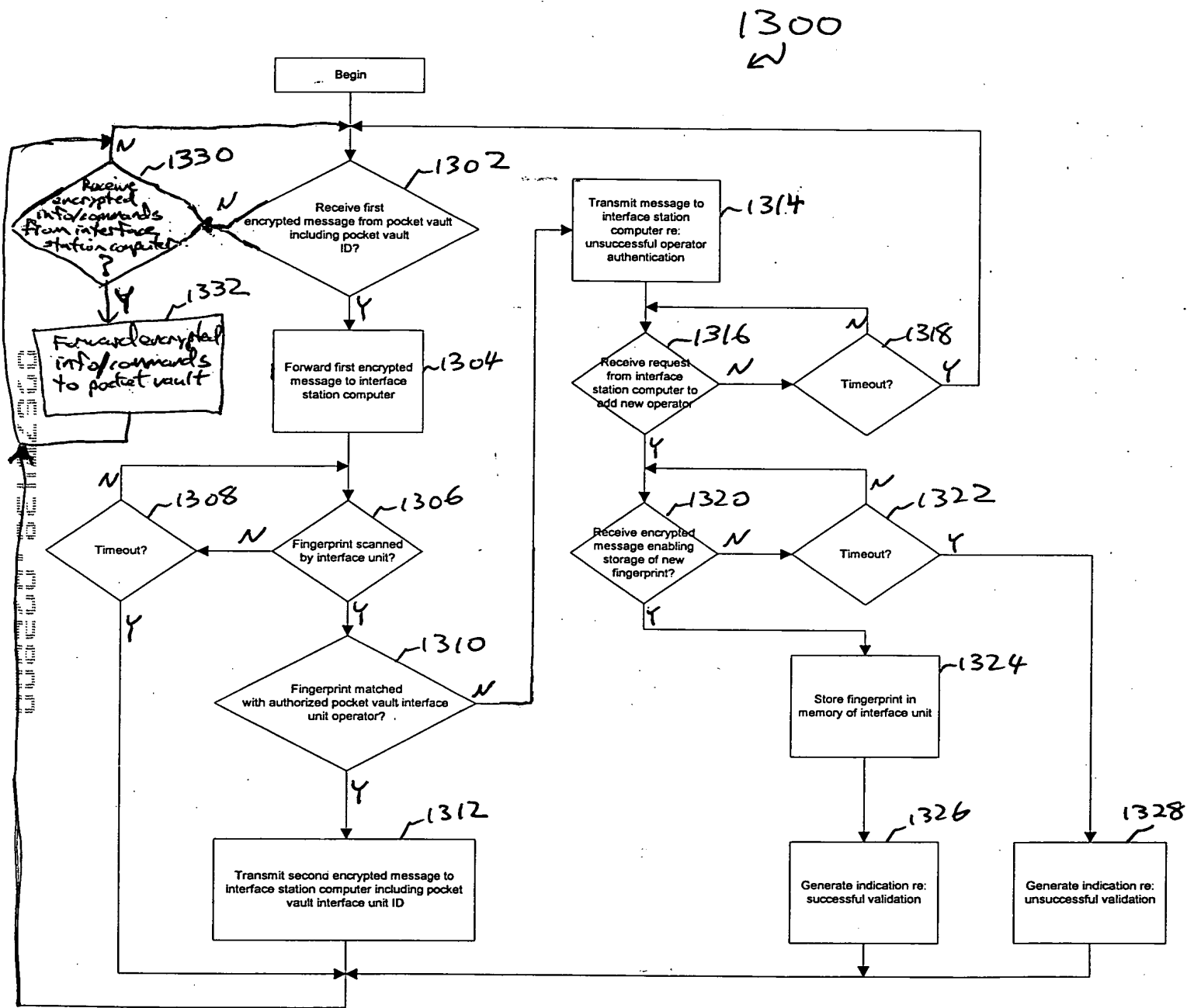
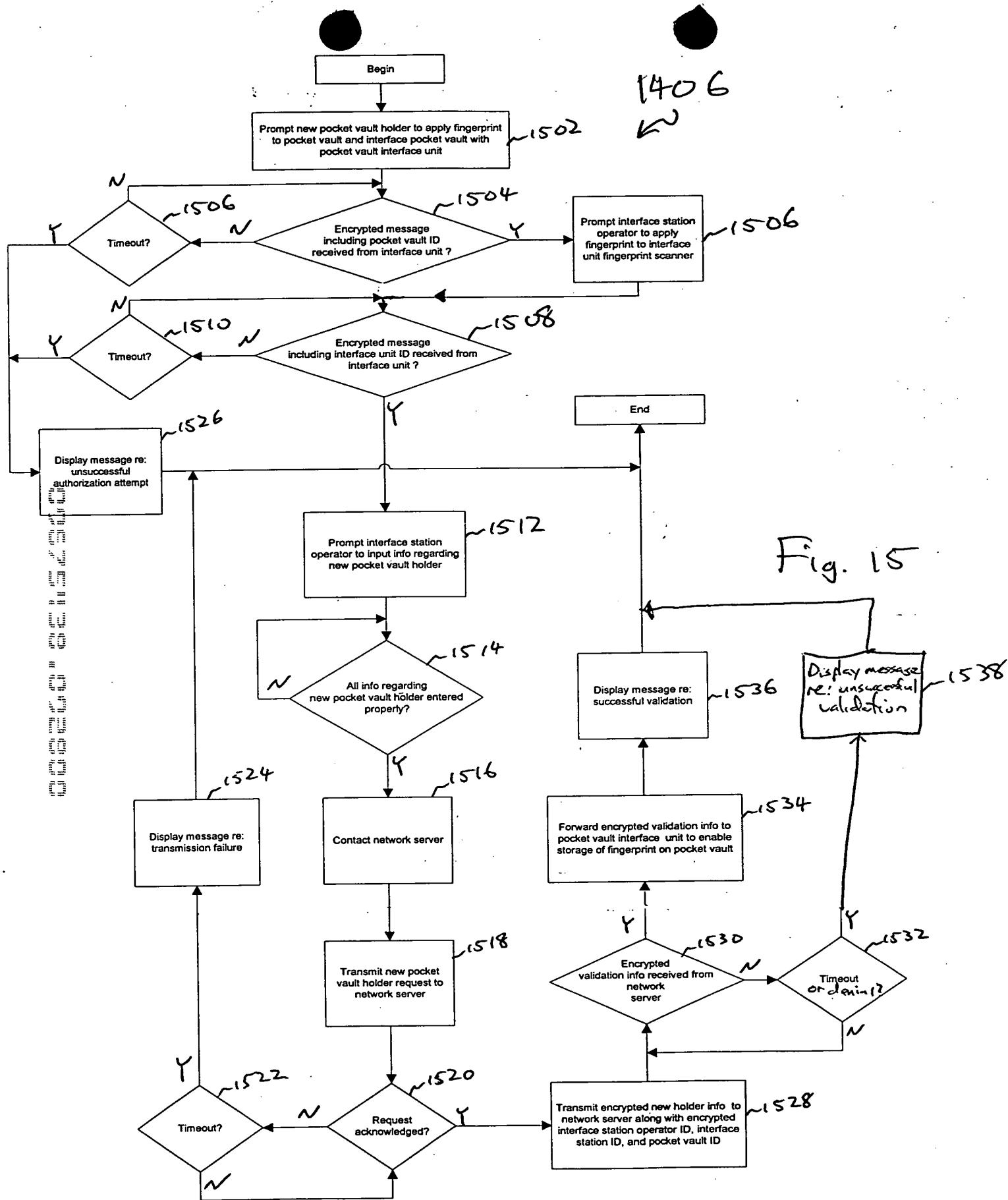


Fig. 13



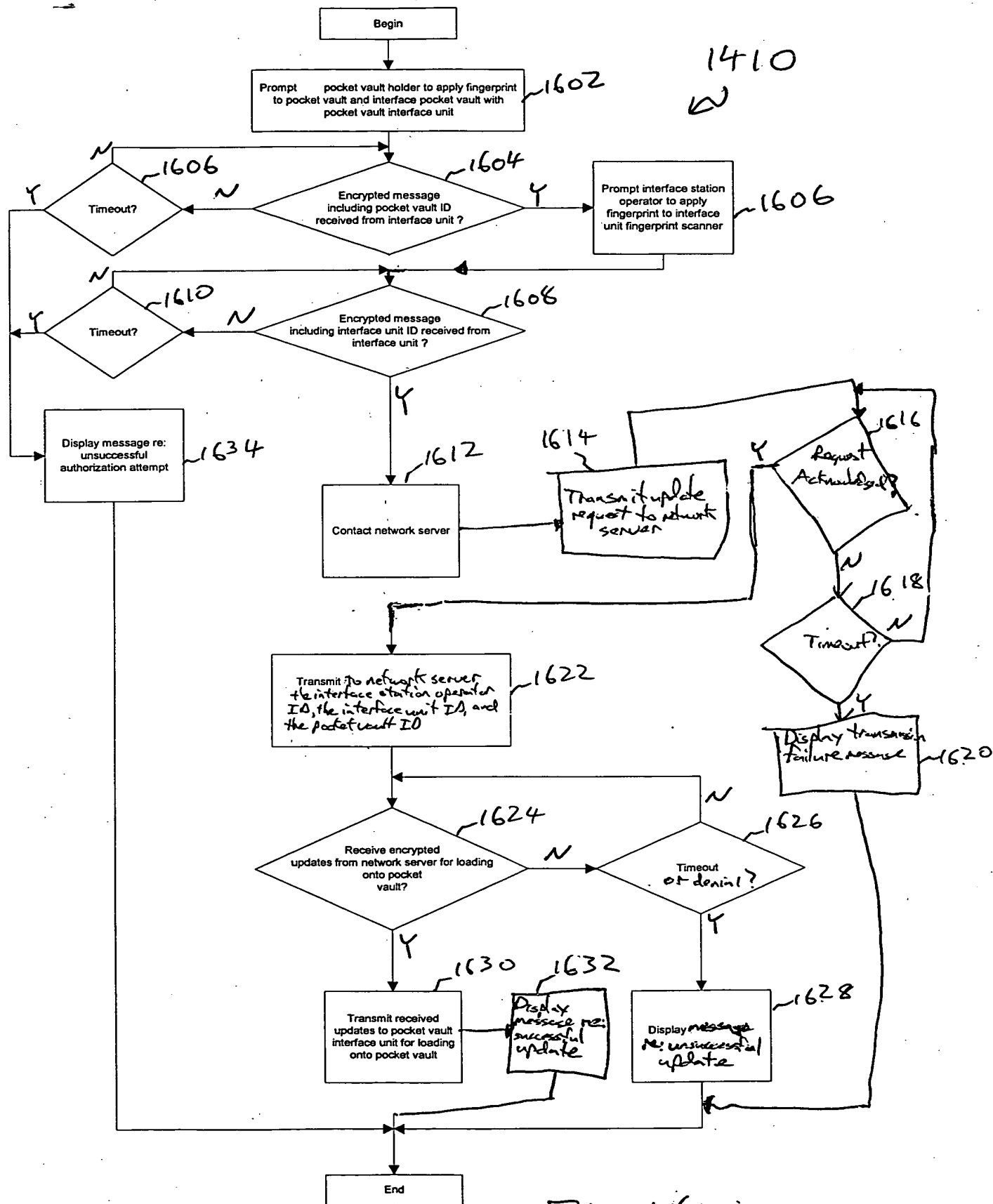
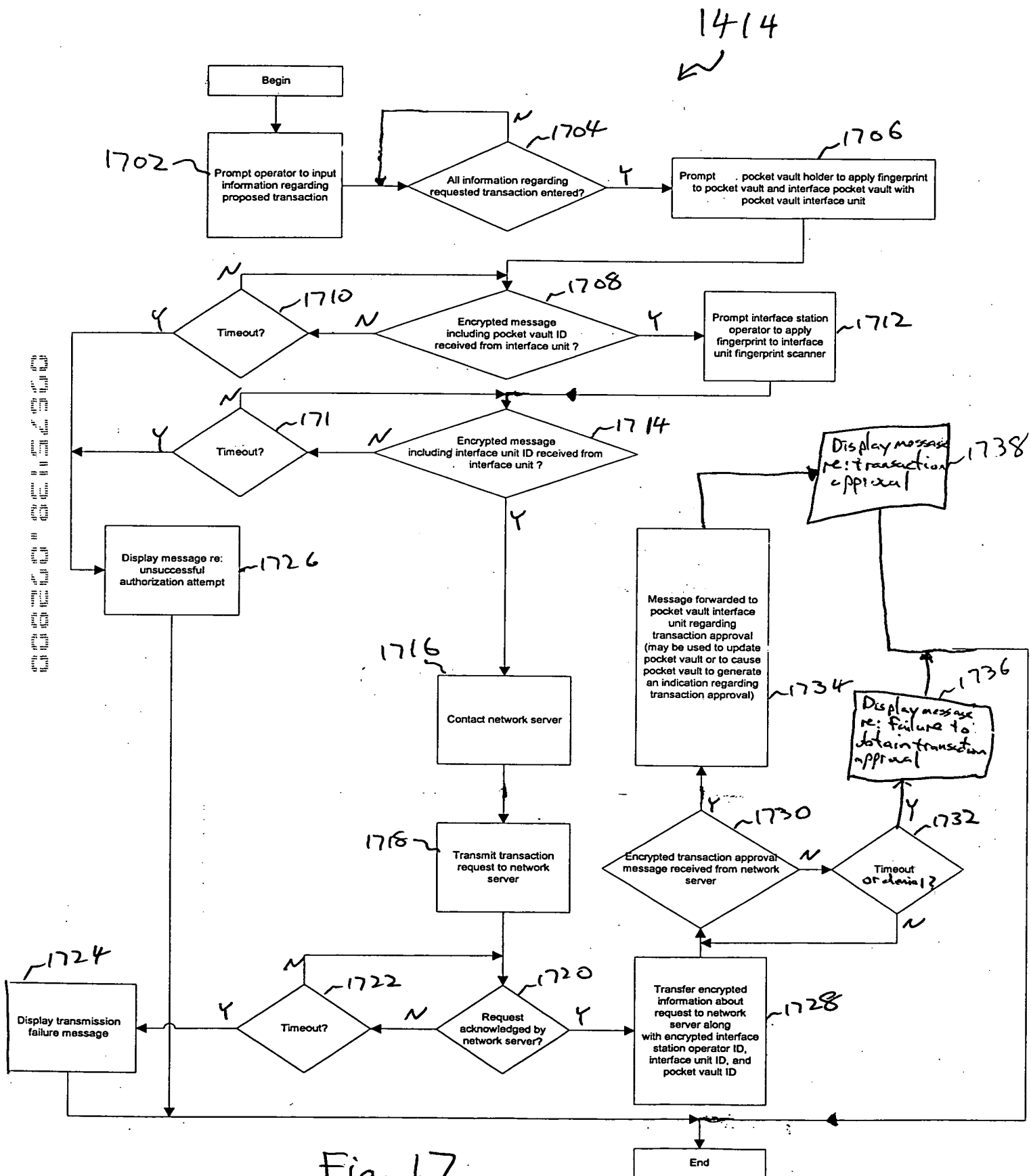


Fig. 16



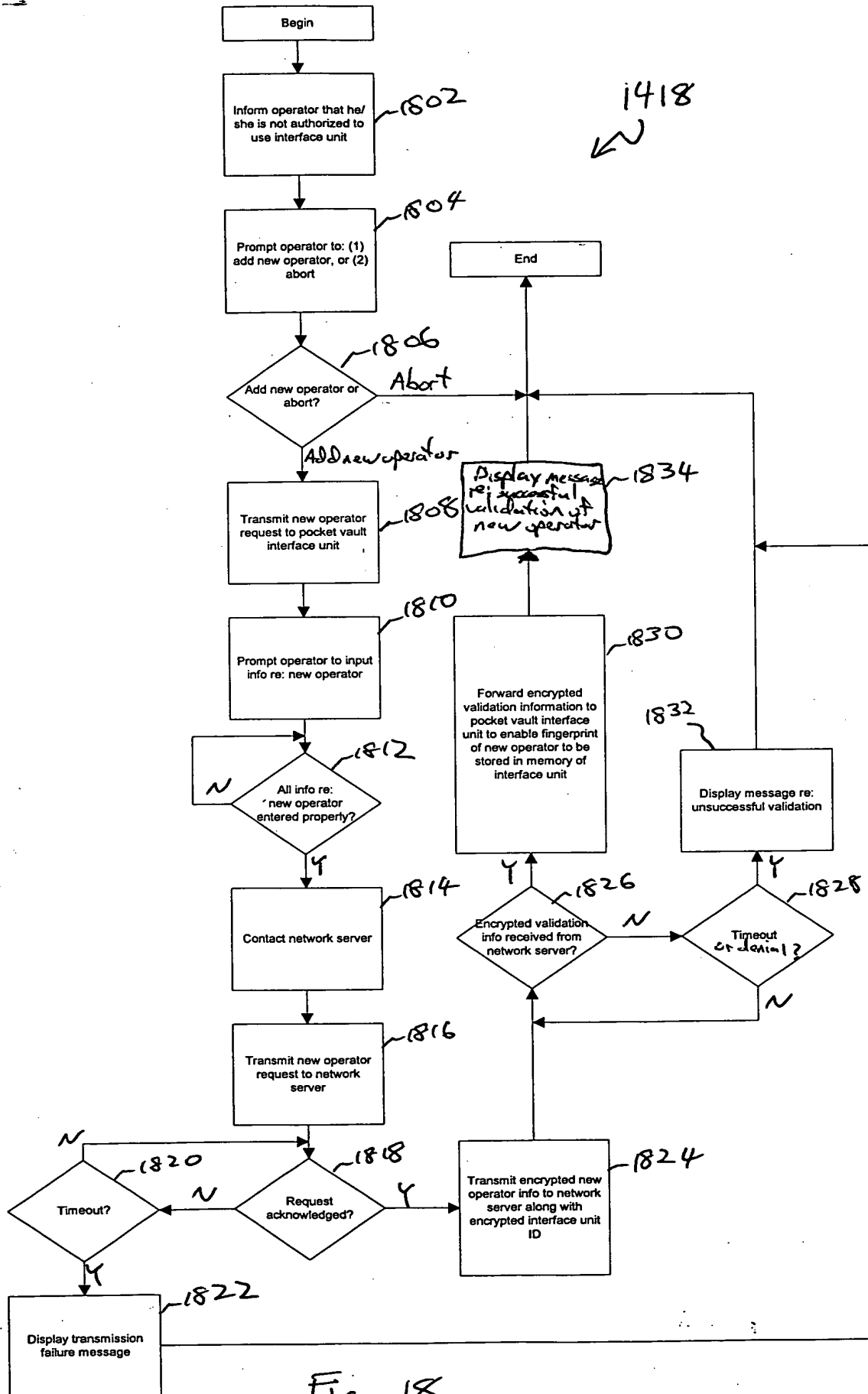


Fig. 18

1900 ~

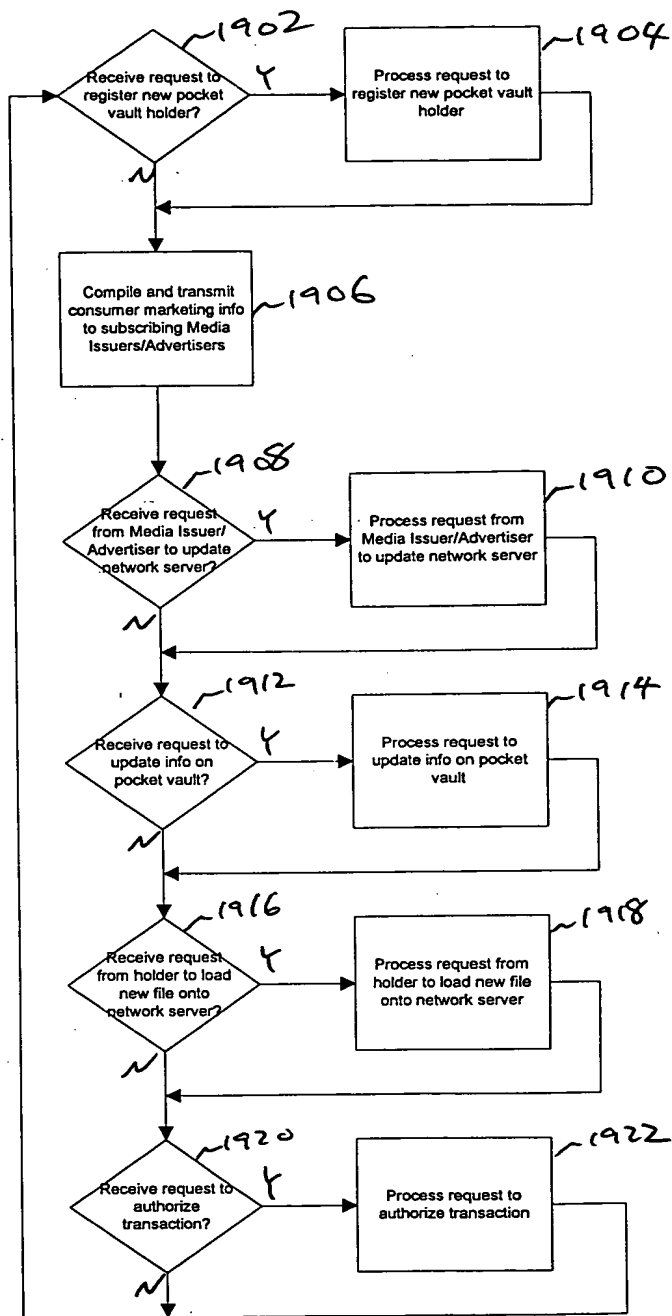


Fig. 19

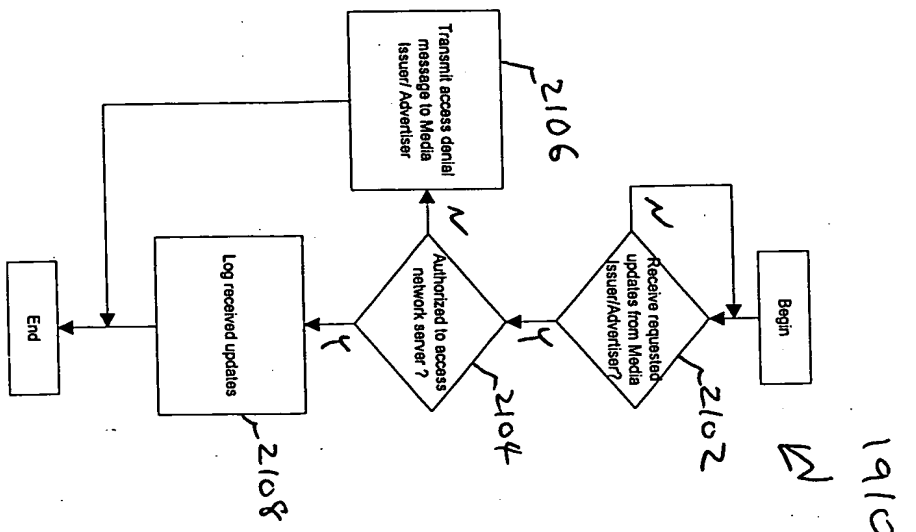


Fig. 21

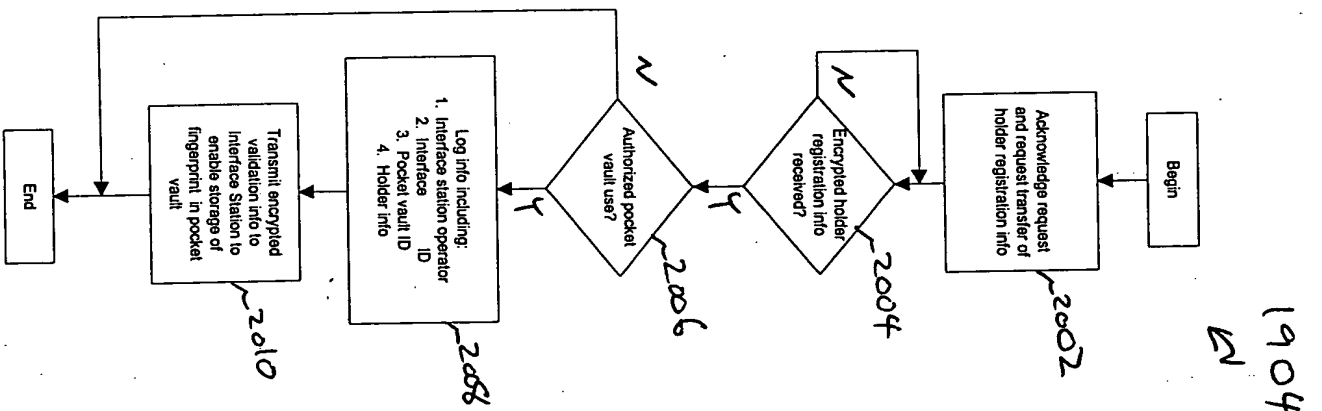


Fig. 20

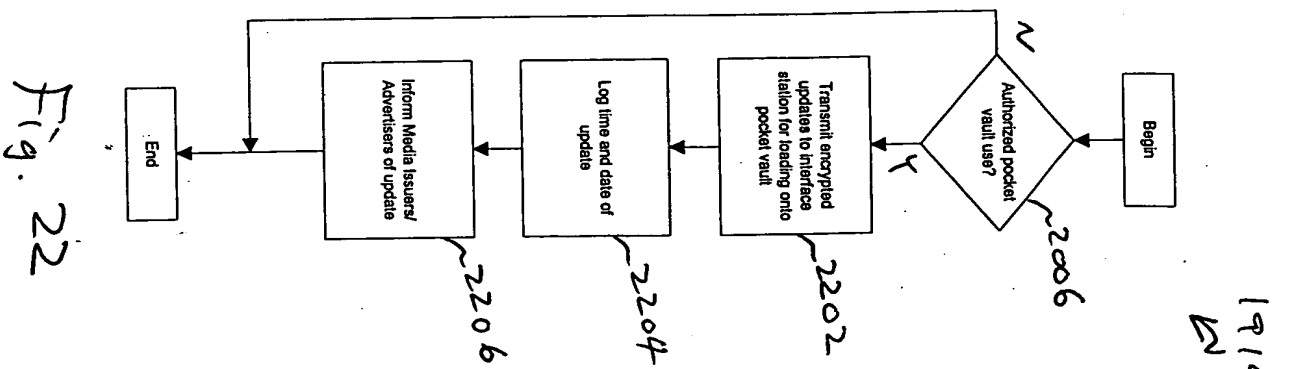


Fig. 22

1918
W

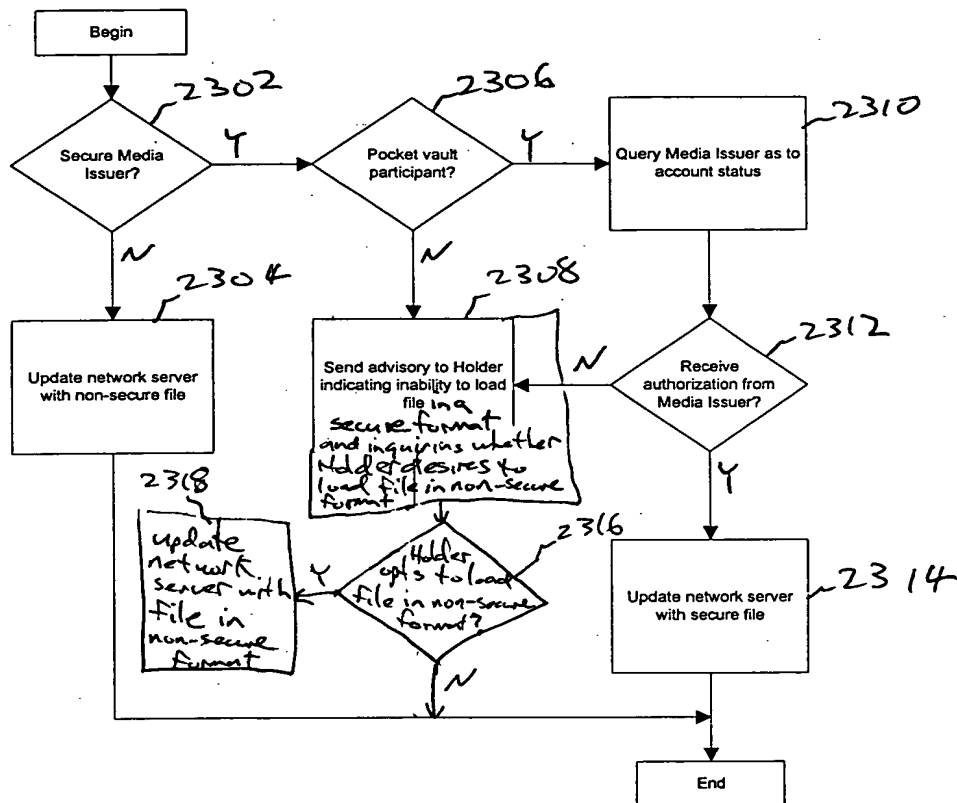


Fig. 23

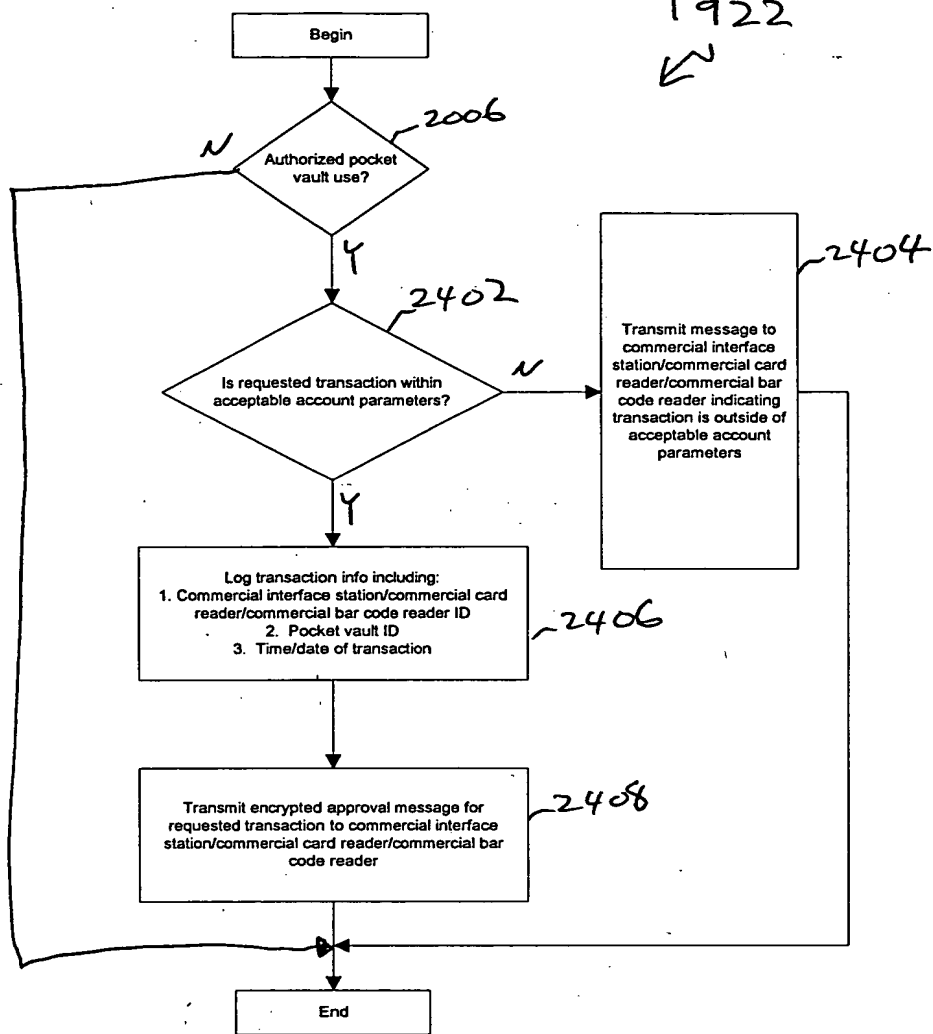


Fig. 24

2006

W

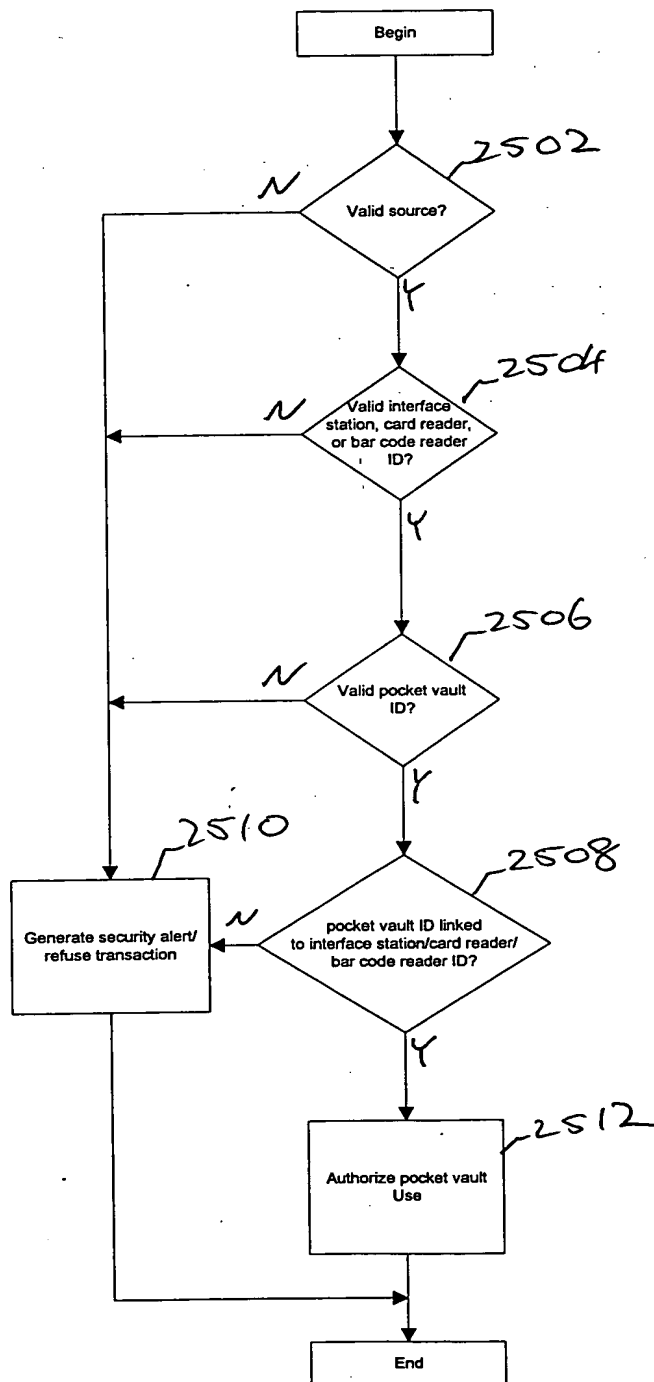


Fig. 25

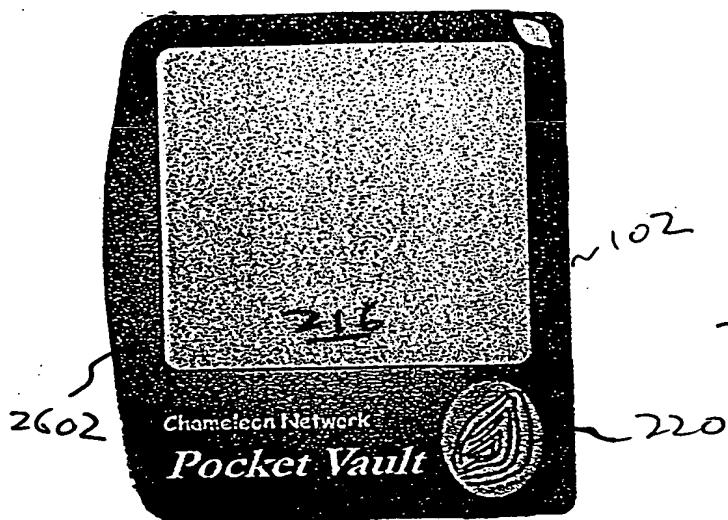


Fig. 26A

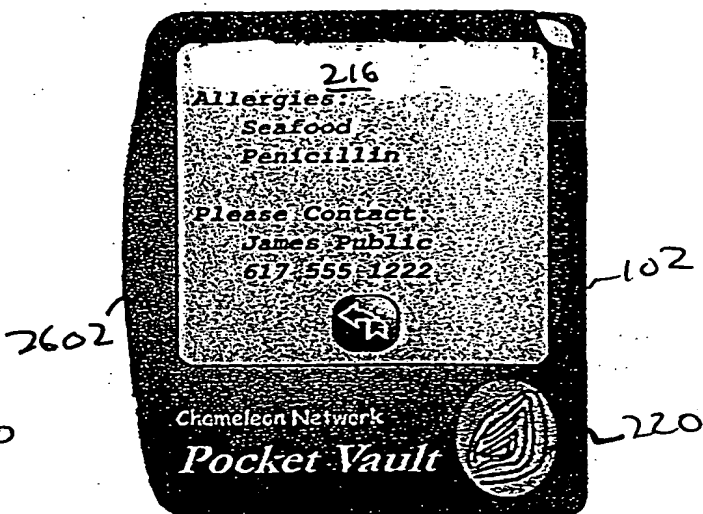


Fig. 26D

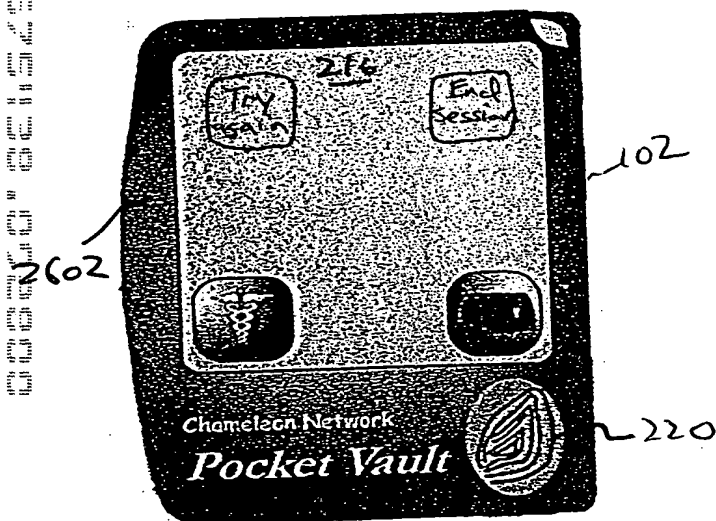


Fig. 26B

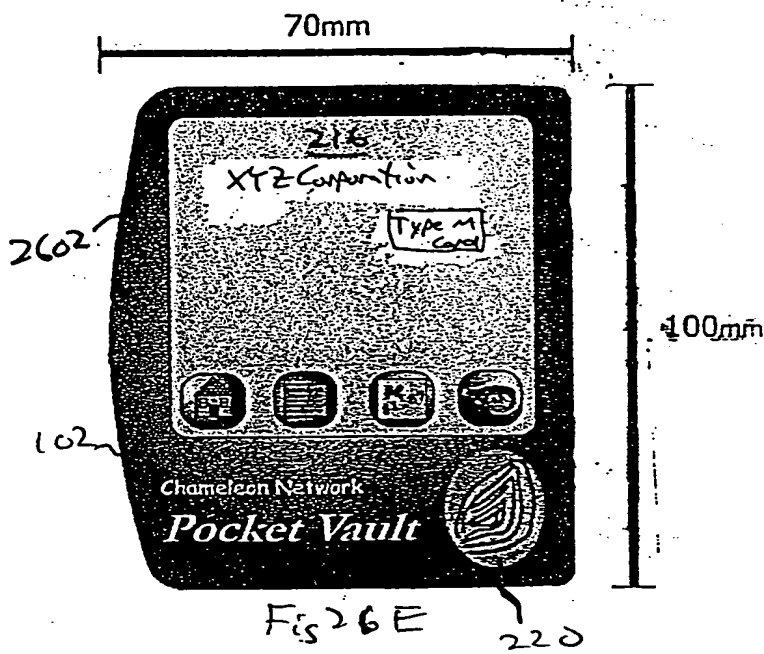


Fig. 26E

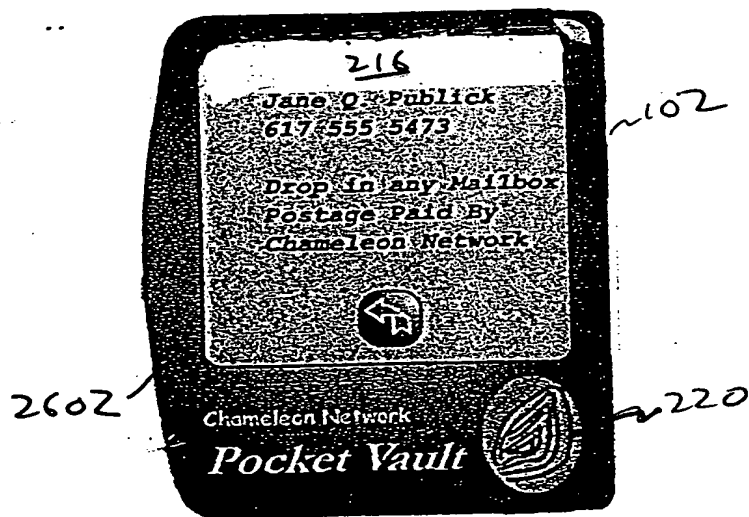


Fig. 26C

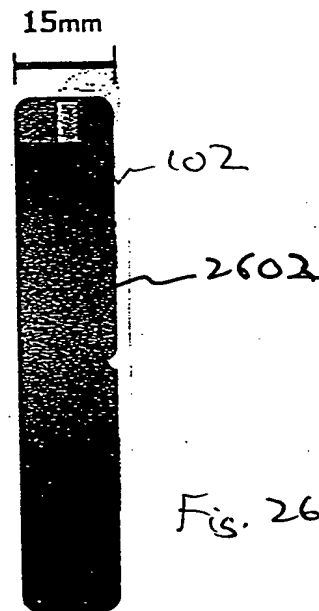


Fig. 26F

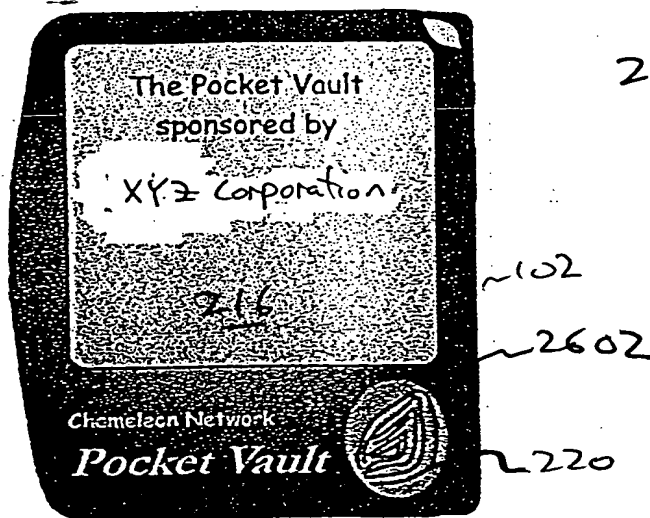


Fig. 26G

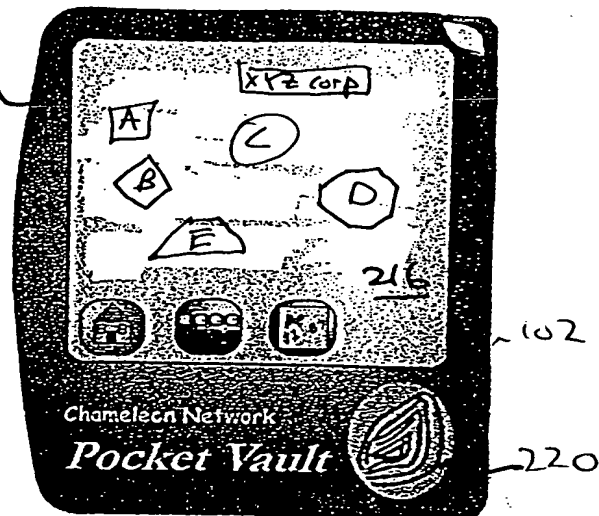


Fig. 26J

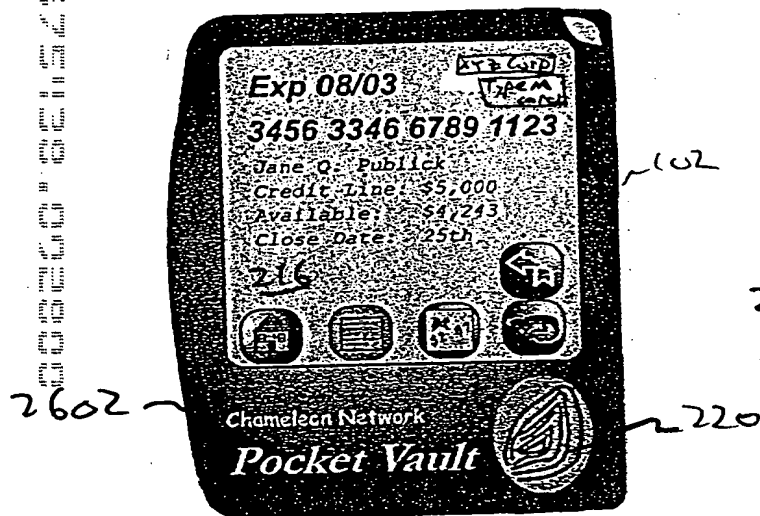


Fig. 26H

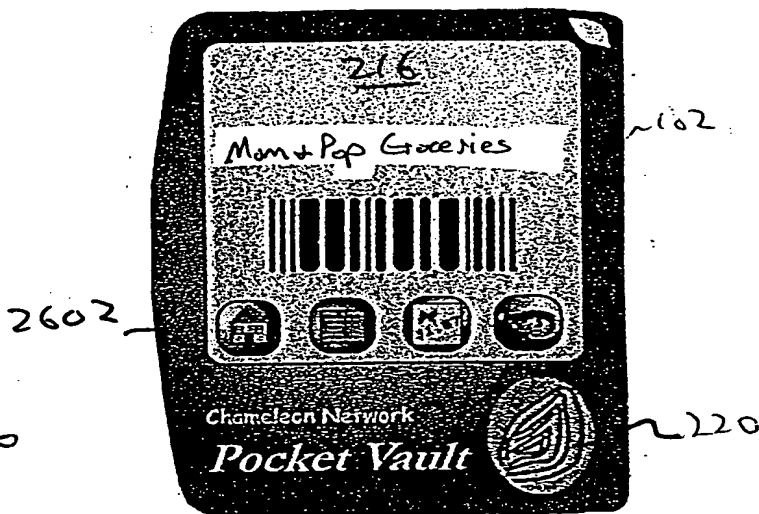


Fig. 26K

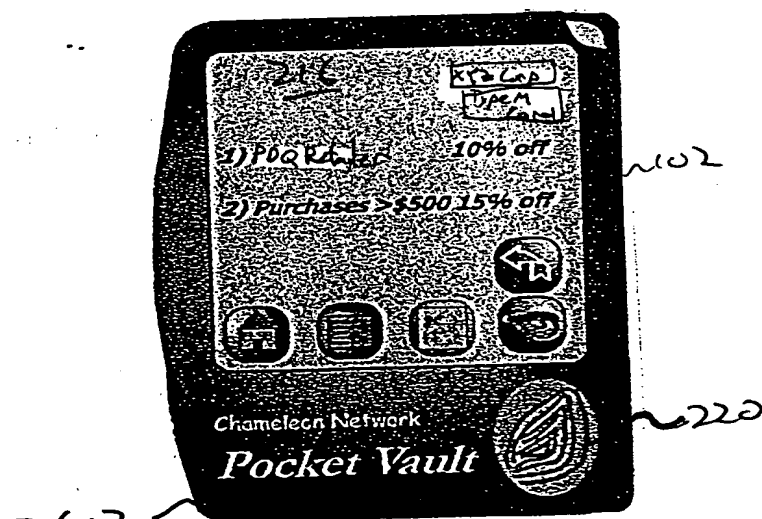


FIG 26 I

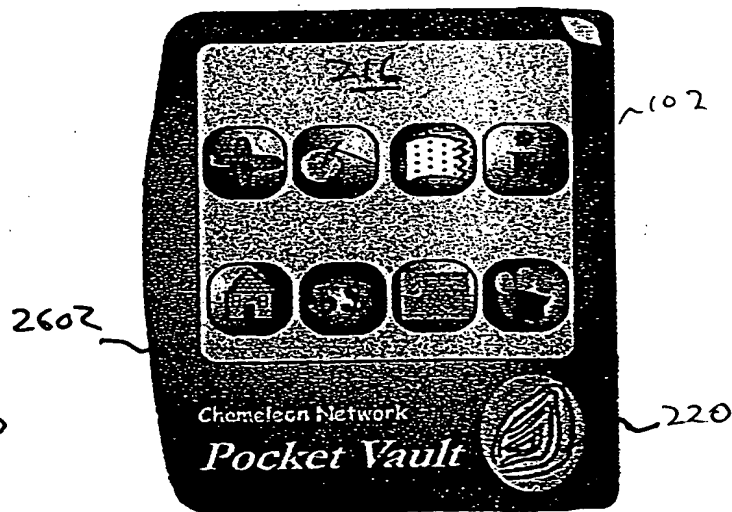


Fig. 26 L

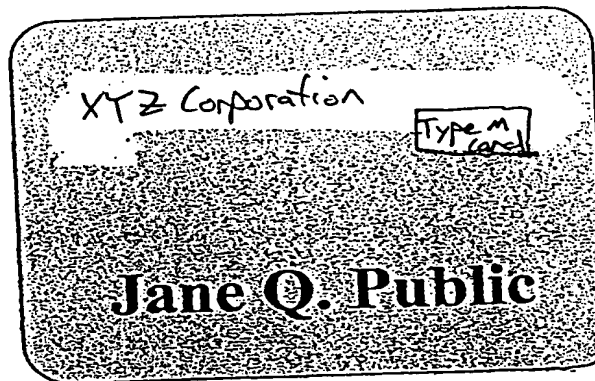


Fig. 26M

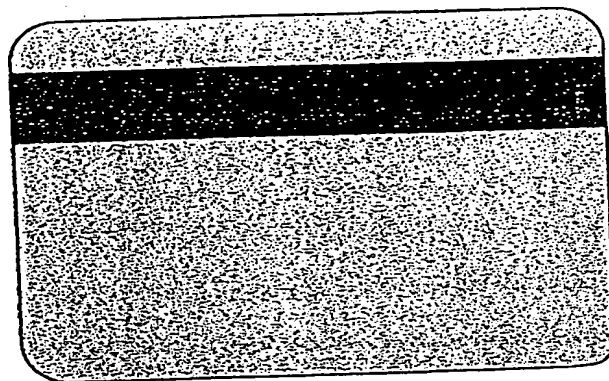


Fig. 26N

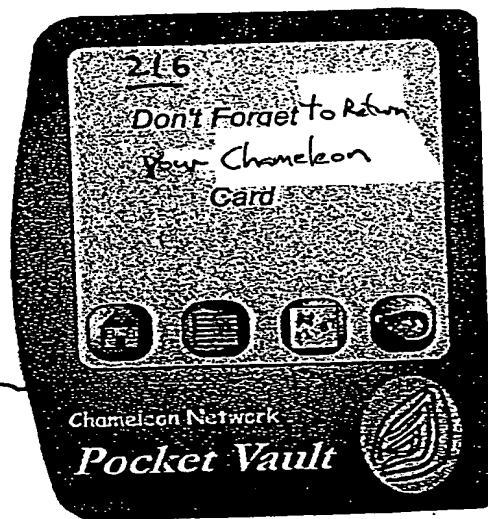


Fig. 26O



Fig. 26P